

无线电电子学译丛

参 量 放 大 器

— II —

科学出版社

无线电电子学译丛
参量放大器
(II)

南微编译

科学出版社

1962

內容簡介

本书搜集了 1958 年以来 在国外期刊中所发表的有关参量放大器的研究论文 10 篇，其中包括参量放大的一般介紹 1 篇，参量放大的基本理論 3 篇，半导体二极管谐振腔式参量放大器的論文 2 篇，行波式参量放大器論文 1 篇，电子束式参量放大器論文 3 篇。

本书可供无线电电子学和固体电子学研究工作者参考。

无线电电子学譜从 参量放大器 (II)

南微編譜

*

科学出版社出版 (北京崇阳門大街 117 号)
北京市书刊出版业营业許可証出字第 061 号

中国科学院印刷厂印刷 新华书店总經售

*

1962 年 8 月第一版 书号：2561 字数：131,000

1962 年 8 月第一次印制 开本：850×1168 1/32

(京) 0001—7,020 印张：5 1/8

定价：0.80 元

編譯者的話

近年来，由于指出了可变电抗可能作为低噪音微波放大器的前景，人们对它发生了极大的兴趣并予以密切的注意。电子束式、谐振腔式以及行波式参量放大器的理論都已經建立，实验結果亦都証实了这类器件的低噪音的性质。国外期刊上不断涌現了大量的有关論文；这套譯丛就是为介紹这些研究成果而出版的。

本书是参量放大器譯文集的第二集，一共搜罗了英、俄文有关論文 10 篇。其中包括一般的介紹論文 1 篇，参量放大的基本理論 3 篇，二极管谐振腔式論文 2 篇，行波式論文 1 篇，电子束式論文 3 篇。

在第一篇論文中，Danielson 用简单的低頻电路以及与它相似的机械模型，对于参量放大器的工作原理进行了描述。他并且定性地把这些原理推广到低噪音微波放大，着重地指出了其中所包含的物理过程；只有当能量从微波振蕩器(簡称注入源)传递給訊号頻率时，才能产生放大。同时他着重地指出了这种传递的过程只能在可变电抗的电路中才能发生，而在可变电阻的电路中不可能有这种传递。他还討論了这种器件的主要噪音源，并指出象頻(或无功頻率)所起的作用。最后他给出了四种不同的参量放大器(三种是用半导体二极管，一种則用鉄氧体)的實驗数据。

第二篇論文是 Rowe 用小訊号理論对非綫性元件的一些性质所进行的分析。他指出，在只有两个訊号頻率出現的情况下，非綫性电容調制器、解調器和负电导放大器的理論分析結果与第一部分(能量的普遍关系)中所获得的結果完全一致(論文的第一部分已收入参量放大器譯文集第 1 集)。此外，这篇文章还給出了这些器件的增益、带寬、終端導納以及对終端導納或本地振蕩器激励的变化的灵敏度，与它們对非綫性程度的依赖关系。一般說來，当非

綫性程度減小到零時，這些器件的帶寬亦趨近于零。

在第三篇論文里，Valdes 証明了假如無源電路中含有非綫性或時變電容的話，就可以用這種電路來放大訊號。他建立了放大時所必須滿足的電路條件，並對參量放大器和混頻器或調制器之間的區別進行了討論。

第四篇論文是蘇聯科學家 В. И. Зубков 和 Я. А. Моносов 所寫的。他們研究了參量耦合迴路的諧振曲線和固有頻率，計算耦合迴路之一頻率失諧時固有頻率曲線變化的情形，確定可以引起參量激發的失諧區域。此外還討論了引入到注入迴路內的阻抗問題。

在第五篇簡報中，Brand, Matthei 和 Saad 報告了他們把兩個具有非綫性電容的 $p-n$ 結微波二極管放在一平衡混合系統中所製成的低噪音放大器的一些實驗結果。當訊號頻率為 2900 兆赫，而注入頻率為其兩倍時，所觀察到的功率增益在 30 分貝以上，噪音系數為 2.7 分貝，頻寬約為 0.5 兆赫。

在第六篇論文中，Uenohara 提出了一個簡單的模型，用以計算可變電容參量放大器的噪音性質。對許多種半導體二極管來說，計算的結果與實驗相當符合；對另一些二極管則有一定的歧離。作者討論了產生歧離的原因，並指出補救的理論方法。

在第七篇論文中，Cassedy 建議，把一塊鐵電材料放在兩塊金屬導板之間，當高功率注入到鐵電材料時，就形成一種表面波參量放大器。他指出，在 X 波段內，即使使用現有的鐵電材料，就可以獲得相當的有用增益。用了改進的鐵電材料，這種放大器可以應用到毫米波波段。

第八篇論文是 Bridges 提出的。他指出：利用電子束代替 Suhl 所建議的放大器中的鐵氧體，就可以製出電子束式參量放大器。由於通常微波放大器所受到的噪音限制並不適用於這種情況，所以它具有很低的噪音系數。文中給出了初步的實驗結果。

在第九篇論文中，Louisell 和 Quate 指出：利用可變電抗以獲得增益的原理，可以應用到電子束上。當電子束受到頻率為訊

号頻率的兩倍的調制时，正常的空間电荷波就分裂成二部分——一个增长波和一个衰減波。“快”波和“慢”波都能获得放大。电子束可和一个慢波电路耦合，以使其中传播的快波获得放大。过去的微波放大器的噪音理論是对慢波而言的，因此这里并不适用。原則上，这种放大器可以具有較低的噪音系数。

最后，第十篇是 Ashkin 对 Louisell 和 Quate 的理論所进行的實驗驗証。理論指出，当用一高頻波(頻率为訊号頻率的兩倍)強烈地調制电子束时，加在其上的訊号(以“快”或“慢”的空間电荷波形式出現)可以按指数律增长。在 10 吋长的电子束上觀察到 41 分貝的增益。在另一實驗中，注入頻率低于訊号頻率，在 9.2 吋长的电子束上觀察到訊号增加了 30 分貝。

必須指出，由于參量放大器是一門新兴的学科，有許多新名詞出現，目前国内尚无統一譯法。例如“Pump Frequency”在第一集中譯作“泵浦頻率”，而本集則譯作“注入頻率”。在这里，我們沒有追求一致。为使讀者免致混淆起見，本集末附有中英名詞对照表，可供参考。

由于水平有限，本书內容难免有許多缺点和錯誤，希望讀者予以指正。

目 录

編譯者的話.....	v
I. 一般介紹	
在微波頻率下固态參量放大器中的低噪音.....	
.....W. E. Danielson	1
II. 參量放大的基本理論	
非線性元件的一些普遍性質——第二部分 小訊號理論.....	
.....H. E. Rowe	16
參量放大的電路條件.....	L. B. Valdes
參量放大器理論的幾個問題.....	43
.....B. И. Зубков 和 Я. А. Моносов	58
III. 半導體二極管諧振腔式參量放大器	
電抗器——低噪音半導體二極管微波放大器.....	
.....F. A. Brand, W. G. Matthei 和 T. Saad	77
可變電容參量放大器的噪音研究.....	M. Uenohara
IV. 行波式參量放大器	
表面波參量放大器.....	E. S. Casseddy, Jr.
V. 電子束式參量放大器	
電子束參量放大器.....	T. J. Bridges
空間電荷波的參量放大作用.....	
.....W. H. Louisell 和 C. F. Quate	118
空間電荷波的參量放大.....	A. Ashkin
中英名詞對照表.....	142
	155

在微波頻率下固态參量放大器 中的低噪音*

W. E. Danielson

提 要

參量放大的原理可以用簡單的低頻電路和與其機械相似的系統來描述。用強調其中所包含的物理過程的定性方法，可把這些原理推廣到微波波段的低噪音放大。僅當能量從微波振蕩器或注入源傳遞給訊號頻率時，才能產生放大作用。本文並且指出：為什麼這種傳遞只能在具有可變電容或電感的電路中發生，而在只有可變電阻的電路中不能發生。我們討論了主要的噪音源，並且指出了像頻或無功頻率所起的具體作用。最後，列出了四種不同類型的參量放大器（三個利用半導體二極管，一個利用鐵氧化物）的實驗數據。

I. 引 言

最近，人們對可變電抗放大器或參量放大器的原理，發生了很大的興趣。這並不因為這些原理是新的，而是因為把它應用到微波技術上去，看來能夠開辟很低噪音的新型放大器^[1-12]。事實上，如同過去經常發生的那樣，至少是在 Rayleigh 時候，由於他對音叉的某些諧振的奇異激勵的研究，他已經成功地對這問題進行探討，並發表了第一篇數學的分析。然而，我們對放大器原理發生興趣主要是在電的方面，因此，在介紹相似的機械系統之前，首先，討論一下簡單電路是有益的。在探討了簡單低頻電路中的能量轉換原理之後，再來討論，把這原理應用到微波波段中的半導體二極管和

* 原載 Jour. Appl. Phys., Vol. 30, No. 1, pp. 8—15; Jan. 1959.

鉄氧体。其次，对理想电路的能量关系进行討論，并且对主要的噪音来源略作闡述。最后，給出了几种形式的电抗放大器的實驗数据¹⁾。

II. 低頻的描述

A. 电的方法

用图 1 所示的简单的 LC 回路，可以說明其中含有的放大過程。試設想組成电容器的兩块平行板之間的距离是可以改变的，同时，我們來探討这种变化对 LC 谱振回路的影响。在距离固定时，假設起始时两板上的电荷分別为 $\pm q$ ，則我們所得到的当然是电荷随时間作正弦变化。假如我們的目的仅在于产生振蕩，則改变两板之間的距离 d 是唯一的方法。显然，要使振蕩能够实现，必須尽可能地多做机械功。当两板完全充电时，我們將增加其距离（注意：哪一块板为正，是无关紧要的），当两板不帶电时，我們能够不做任何功而把它們恢复到原来的位置。因此，我們能够使电容量按如图所示的方形波的形式而变化，同时，可以无限地增大振蕩振幅。引起这种电容量变化的交变能源称为注入源。注意：电容量随时間而变化的基頻，恰好是 LC 回路的譜振頻率的两倍。同时，還應該指出另外两点，它們与我們將要討論的更普遍情形有关：第一，对使“ d ”改变的注入作用的相位的选择，是重要的，第二，有效譜振頻率或多或少地和 δ 有关。因为常用的放大器需要有輸入和輸出端，而我們的 LC 回路在不与外界电耦合的情况下，就会显示出随时間的增长，所以我們必須要求这一随时間的增长，对于放大器問題，是合适的。在这关系中，很显然地可以用一电阻負載来表示回路中所必須克服的发散損耗和传递到負載的能量，例如传递給波导的能量。而且这个負載对图 1 的討論仅作微小的修正。因此，虽然数学上或多或少有不同的形式，但在物理上的要求

1) 所提到的實驗，都是在 Bell 电话公司實驗室里做出的。另一些有关固体參量放大器的實驗，可參看文献[4]和[5]。

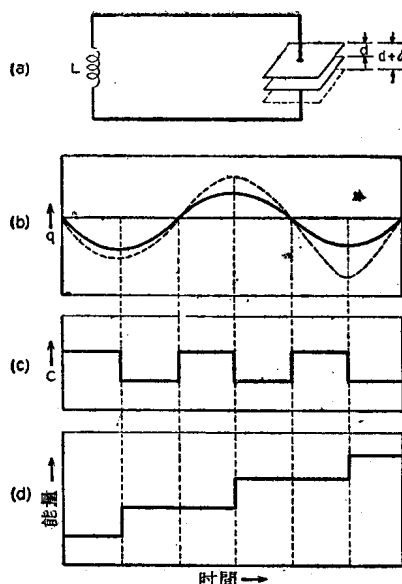


图 1 (a)电容量可由平行板間距离来改变的简单LC迴路。 (b) 实綫表示当距离固定时板上的电荷和时间的关系;虚綫表示当电容量如(c)所示的那样变化时电荷和时间的关系。(d) 在振盪器中能量和时间的函数关系

和原理方面,不管是否考慮特定的輸入和輸出电路,却是很相同的。

直到現在为止,我們似乎对这电路所发生的兴趣更甚于对它能用作低噪音放大器的基本原理。一个困难是注入波和訊号波之間的相位要求。結果发现使用由图 2. (a) 所表示的略微复杂的电路,相位的要求就可以自动地滿足。这电路的附加特点是具有一諧振頻率为 f_2 的第二个迴路,这里 f_2 是与 f_1 不同的。在这个情況中,我們发现,无论是注入波的基頻,或是它的諧波之一,應該等于 $f_1 + f_2$ 。为了明确起見,令 $f_1 + f_2 = f_p$ 。这一关系的意义可由下面看出。

設由頻率 1 所产生的电荷 q_1 为 $\sin \omega_1 t$, 而頻率 2 所产生的为 $\sin \omega_2 t$, 則总电荷为:

$$q_p = \sin \omega_1 t + \sin \omega_2 t =$$

$$= \sin\left(\frac{\omega_1 + \omega_2}{2} t + \frac{\omega_1 - \omega_2}{2}\right) + \sin\left(\frac{\omega_1 + \omega_2}{2} - \frac{\omega_1 - \omega_2}{2} t\right) = 2 \sin\left(\frac{\omega_1 + \omega_2}{2} t\right) \cos\left(\frac{\omega_1 - \omega_2}{2} t\right),$$

同时我們發現，每当 $\sin 2\pi \times \frac{1}{2} (f_1 + f_2) t$ 等于零时， q_v 亦等于零。因而，这样比前面的情况更可能产生振荡。然而，这时能量的增量随着拍頻的相位而有很大的变化，如图 2 (e) 所示。但是，淨能量的传递总是正的。如果我們对相位 $\omega_2 t$ 加上 180° ，显然，为了得到所希望的能量传递，必須把注入波的相位改变 180° 。因此，相位将显得很重要。但是，事实是这样的：我們默默地假定了 f_1 和

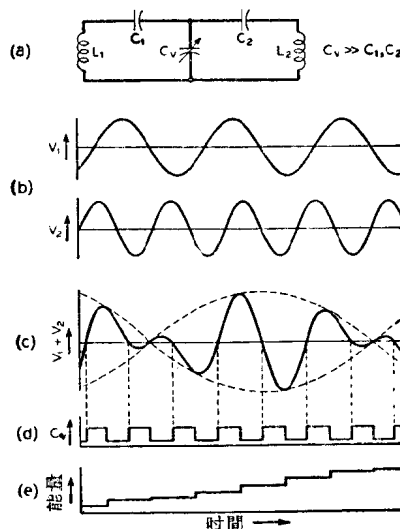


图 2 (a)由一只公共的电容耦合起来的两个 LC 週路。(b)当除去两个 LC 週路之一时，在 C_v 的两端出現的各个电压。(c) C_v 两端的总电压，即(b)图中所示的两个电压之和。(d)在 LC 週路中，使能量单值增加的电容变化。(e)在 LC 週路中能量和时间的关系

f_2 都受到了初始激励，而实际上，我們对只有訊号（設 f_1 ）受到初始激励的情况发生兴趣，而 f_2 的激励只是由于注入作用而产生的。对于这种情况，很容易証明， f_2 将自动地建立起适当的相位（因为

相反的相位相当于把功率从谐振腔传递给注入波，故任何建立起相反相位的趋向都将受到阻尼）。由于它是自动地建立起振荡，因而给出适当的相位， f_2 通常被称作无功频率，不过亦有时称作“象频”。

直到现在为止，所讨论的问题只限于与时变电容有关的能量转换。因为正象电容器一样，电感器同样能够把能量储存起来，所以利用时变电感器可以获得同样形式的能量转换。这是无需再加证明的。然而对于电阻器，则不是这种情况。因为它不能储存能量，所以电阻的改变不能引起系统能态的改变。

B. 机械的方法

刚才所探讨的这些原理，亦可以在相似的机械系统中看出。对于如图 1 所示的单个的谐振腔的情况，普通的摆毫无疑问是最简单和最古老的相似机械系统。每周作功两次（到达每个摆动的顶点计为一次），使物体的重心比不对它作功时要高些，因此注入作用的频率是摆的简谐振动频率的二倍。因为它相当于更普遍情况中的 $f_1 = f_2$ ，故在注入频率恰好是振荡器（或谐振器）频率的二倍的情况下，我们称它为简并的情况。简并情况的另一个简单的机械相似系统是小孩常作的游戏，把绳环上所系的纽扣[约约(yo-yo)一种玩具]迅速旋转。要去寻求相应于 $f_1 \neq f_2$ 情况的适当的简单相似系统，看来似乎是相当困难的。事实上，对于 $f_1 \neq f_2$ 的情况，制造一个现实的微波放大器，要比建立一个好的机械模型容易得多。不过，我们已经成功地建立了一个 2 频率的机械模型；它是单根绳上所系纽扣的情况的推广。两个机械的旋转系统是沿着图 3 上所画的路线运动的。这里，在 $\tan \bar{\Psi} \approx \bar{\Psi}$ 的情形下，由双线支架所产生的恢复力矩是线性地正比于 θ 。带状支架必须这样地选择，以使发散损耗为最小，而且连接环必须提供一种梯形结构，以防止在扭转时双引线扭到一起（这将产生严重的非线性效应）。连接环也使我们可以采用与双引线共轴而不与之接触的支架。在 2 频率的模型中，我们颠倒旋转系统中的一个（图 4 中较低的一个），

并且利用掛下的耦合梯，把它架在摩擦很小的支点上。除了平衡錘和滑輪可使耦合梯的頂端在鉛垂平面內自由移动外，其他的旋轉機件都象圖 3 中所画的那样悬掛着。最后，用第三个耦合梯把两个旋轉機件耦合起来。通过調制注入弦中的張力（注入弦是和上面的耦合梯同軸的），可使耦合梯中的張力按方形波的形式而变化。上面的旋轉機件被平衡时，耦合梯中的張力将只依賴于注入弦中的張力，而和上梯的相对扭轉无关。如果 θ_1 和 θ_2 表示两旋轉機件的角度移，則耦合梯的扭轉将为 $\theta_1 - \theta_2$ 。这个量完全和圖 2 中的 q 相当。当耦合張力增大时，如果耦合梯內有一扭轉，則有能量传递給旋轉系統。我們选定注入頻率，使它滿足：当耦合梯

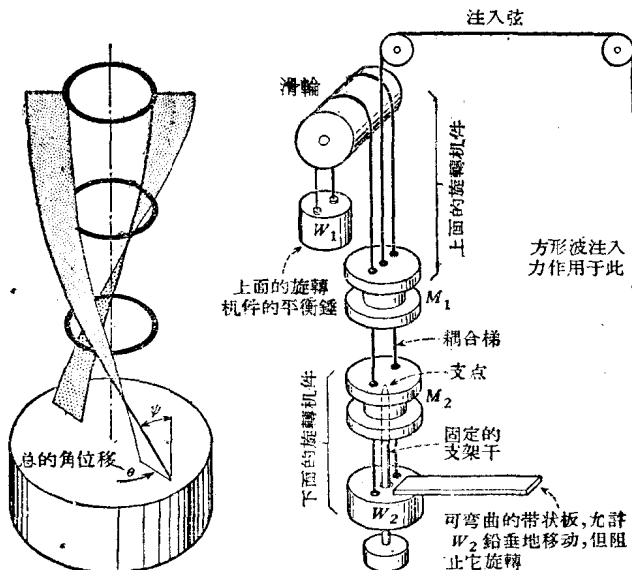


图 3 用于 2 頻率參量放大器的机械相似系統中的机械諧振器。支架帶中的張力是通过重力在懸掛質量上的作用而产生的

內沒有扭轉时，耦合張力就等于零。这相当于圖 2(c) 中电容量的变化。因此，这里从注入源有一定的正的能量传递給旋轉系統，如圖 2(d)所示。而且旋轉的振幅逐渐增大，直到发散損耗等于所

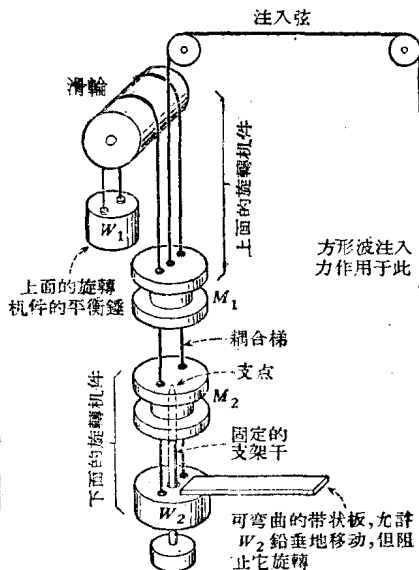


图 4 2 頻率參量放大器的机械相似系統。能量是由注入弦中張力的方形波調制所供給的。調制是由一只物理摆（图上沒有画出）产生的

供给的注入能量为止。由于能量是按一定的量供给的，而此一定的量是随两旋转体之间的拍频而变更的，因此在这个频率上，叠加有忽大忽小的旋转振幅。

III. 在微波频率下的可变电抗

其次，我们要把在上面用低频的电系统和机械系统所描述的原理应用到微波波段中。具体地说，我们要探讨利用微波半导体二极管以获得可变电容和利用铁氧体以获得可变电感的方法。

现在，我们来讨论如图5所示的平面缓变结，其中施主原子是在结的右边占优势，而受主是在左边占优势。假如在结的两端有一反向偏压（包含接触电位）存在，则在受主区域内的空穴将移向左边，而在施主区域内的电子将移向右边。这种移动将一直继续到在一边有足够的带负电的受主离子，而在另一边有足够的带正电的施主离子，使它们所建立起来的等量而相反的空间电荷电位达到平衡为止。显然，在这种情况下，能量储存在电场内，因而可以用电容来对它进行描述。然而，容易证明，这种储存的能量并不是线性地正比于 V^2 ，因此，在 CV^2 中的 C 值不能认为是一常量。只要改变结的两端的电压，就有可能使 C 发生变化。在微波频率下，要想达到上述的目的，可以把一只半导体二极管放在波导式谐振腔中，以使其中的微波能量在结的两端感应出适当的电压。现在我们再回到图2，加入一强烈的微波注入信号，其频率为 $f_p = f_1 + f_2$ ，就可使 C_p 按照与方形波相对应的基本频率而变化。为了提供调谐到 f_1 和 f_2 的微波回路元件，我们必须设计谐振腔，使它能同时对 f_1 和 f_2 响应。实际上，我们还需要把信号引入含有可变电抗的谐振腔中以及把放大的信号引出。初看起来，似乎是困难的，因为信号电压增长的终端就是原来信号加入的两端。也就是说，我们不会得到象三极管这类的增益，例如，在三极管中，放大信号出现在和栅路隔离的阳极内，而我们所得到的是负阻型或负导型放大，它具有不稳定和临界调节等特征。然而，幸运的是，铁氧体不可逆器件，例如环旋器，能使输入波和输出波隔离，因此，利用负阻型的

放大作用是不困难的。

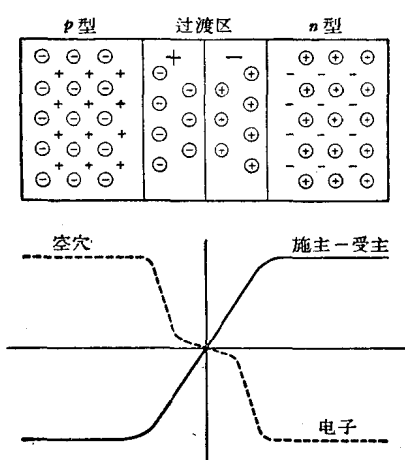


图 5 解释电容随二极管两端电压而变化的 $p-n$ 缓变结模型

考虑到利用铁氧体的可变电感放大器的可能性，就会发现，直到目前为止，所有适用于可变电容的放大原理，同样能够应用于可变电感的情况¹⁾。所以我們只需要指出，在铁氧体中的磁自旋矢量可以用来改变两个频率之间的电感耦合，这两个频率是在含有铁氧体材料的微波谐振腔中同时出现的。

为了使在没有注入讯

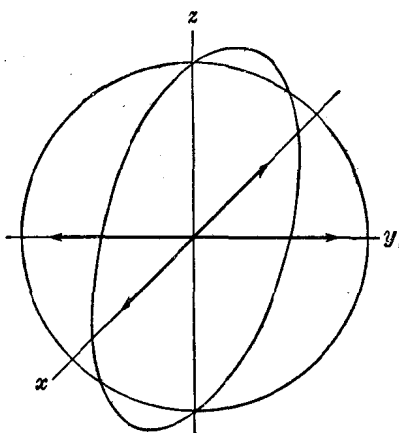


图 6 当铁氧体中的射频和直流磁场之间的关系是正确时，在铁氧体中获得的可变电抗的放大。设铁氧体的中心位于 $(0,0,0)$ ，而在 xz 和 yz 平面内的电流圆形迴路分别用来表示沿 y 和 x 方向产生磁通量的两个射频迴路。沿着 z 方向的直流磁场将产生第三个射频讯号。由于铁氧体内的自旋电子围绕着直流场进动，因而在另外的两个射频迴路之间产生可变的电感耦合，因此这第三个射频讯号可以当作注入源

1) 铁磁体放大器的詳細理論，請參看文獻[7]。

号时电感耦合为零，我們选取两类波型，其磁场在铁氧体中是彼此相互垂直的。我們用两个导线环(图6)来表示产生上述的两个磁场的电流路径。假如我們沿着与两个射频磁场垂直方向引入一个强烈的直流磁场，由于铁氧体内的自旋电子围绕着直流磁场进动，直流磁场的引入将产生作为注入源的第三个射频场。在这些条件下，如果初始时只有 f_1 和注入频率， f_2 可用与我們上面討論过的可变电容的情形极为类似的方法建立起来。結果就产生一个磁场 $\mathbf{B}_1 + \mathbf{B}_2$ ，它的相位是使每周内由注入源供給的功率是正的，而且是一定量的。矢量的出現使得詳細的数学分析要比可变电容情况复杂一些，但是我們已經看出，它們的物理情况却有許多共同之处。

IV. 噪音的討論

我們将着重通过可变电容二极管放大器的討論，來說明可变电抗放大器的噪音性质。我們已經看到，放大的能量是来自射频注入源。由于它是一只高度稳定的振蕩器，我們可以忽略由它所产生的任何噪音。可以产生噪音的其它地方是：(1) 在 f_1 和 f_2 的輸入迴路，(2)在 f_1 和 f_2 的諧振腔迴路，(3)在 f_1 和 f_2 上，二极管本身。

我們已經看到，在放大 f_1 时，就产生出 f_2 ，因此， f_2 所发生的噪音将引起 f_1 的噪音。这就是为什么我們必須考慮这两个頻率的噪音源的原因。噪音源(1)和(2)都是我們經常要遇到的热噪音，而且經驗指出，只要噪音源(3)并不发生过大的噪音的話，噪音源(1)、(2)并不妨碍我們获得低噪音放大。这里，晶体管具有很大的噪音的这一事实，初看起来是十分惊人的。然而，在晶体管放大器中，少数載流子的运动起着主要的作用，虽然我們仅依賴于大多数載流子的运动，这些載流子能交替地“显出”或“隱藏”，或者中和一些固定的离子电荷，而不需要很多載流子通过結移动。对于結二极管的情形，A. Uhlig^[13]已在理論上証实了，在这些情况下散粒效应是可以忽略不計的。不过，离子点陣对在某一边的空穴流和

在另一边的电子流的流动,有一定的阻碍,而且它可以很合理地用二极管等效电路中一个串联的电阻(通常称为分布电阻)来表示

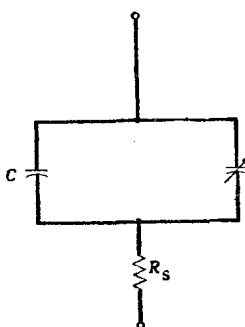


图7 为了解释在二极管中与多数载流子运动有关的噪音,把一个串联电阻加到一无耗可变电容二极管的等效电路中

的有效噪音温度。假如在室温(290°)下,当实际放大器和理想放大器的输入负载均匹配时,从实际放大器输出的噪音为理想放大器的 $(1 + f)$ 倍,那么实际放大器的有效噪音温度为 $f \times 290^{\circ}$ 。 f 量是唯一的有效噪音温度,它和通常的噪音因子 F 的关系是 $f = F - 1$ 。这个超噪音温度可以比电路的温度低的理由是在频率 f_1 和 f_2 的输入不一定和谐振腔损耗或二极管的串联电阻匹配,因此,显然,低温并非产生很低噪音放大的必要条件。

V. 功率、增益和带宽的讨论

在第Ⅱ节中,我們已經給出了參量或可变电抗放大的物理圖象,不过,还需要有定量的数学分析来指导实验。Manley 和 Rowe^[14]通过对无耗可变电抗元件的分析,获得了一些特別有用的結果。他們証明,在上面已經討論过的2頻率情況中,假如沒有发散損耗,則

$$\frac{P_1}{f_1} = \frac{P_2}{f_2},$$

(图7)。当然,它将引起另外的热噪音或Johnson噪音源。但是,基本的问题是必须获得适当低的 R_s 值,同时,为了能在微波波段内工作,必须使 C 值低。在第VI节中将给出实验结果,表明目前已经达到如何程度。

关于可变电抗放大器的最低噪音問題,应当注意到,即使可变电抗放大器的所有元件都处于室温下,这种器件的有效噪音温度还可能远比室温为低。用具有与实际放大器相同的增益的理想无噪音放大器可以确定放大器